



تولیدات دامی

دوره ۲۲ ■ شماره ۲ ■ تابستان ۱۳۹۹

صفحه‌های ۱۹۹-۲۰۹

بررسی پروفایل ترنسکرپتوم بافت تخدمان در میش‌های نژاد شال با استفاده از داده‌های RNA-Seq

پروین شریعتی گزگاره^۱، علی اکبر مسعودی^۲، رسول واعظ ترشیزی^۳، علیرضا احسانی^۴، زینب موسویان^{*}

۱. دانشجوی دکتری، گروه علوم دامی، دانشکده کشاورزی، دانشگاه تربیت مدرس، تهران، ایران.

۲. دانشیار، گروه علوم دامی، دانشکده کشاورزی، دانشگاه تربیت مدرس، تهران، ایران.

۳. استادیار، گروه علوم دامی، دانشکده کشاورزی، دانشگاه تربیت مدرس، تهران، ایران.

۴. استادیار، گروه علوم کامپیوتر، دانشکده ریاضی، آمار و علوم کامپیوترا، پردیس علوم، دانشگاه تهران، تهران، ایران.

تاریخ پذیرش مقاله: ۱۳۹۸/۰۸/۰۶
تاریخ پذیرش مقاله: ۱۳۹۸/۰۹/۲۳

چکیده

هدف از این مطالعه بررسی پروفایل بیان ژن در بافت تخدمان گوسفندان شال با استفاده از داده‌های توالی‌یابی RNA بود. برای این منظور، تخدمان‌های پنج رأس گوسفند شال بعد از هزمان‌سازی فحلی جداسازی و RNA آن‌ها با استفاده از فناوری Illumina Hiseq 4000 جفت خوانش با نرخ نفشه‌یابی منحصر به فرد ۸۱/۰۸٪ بدست آمده از توالی‌یابی شامل ۲۶۶۳۸۳۱۱ جفت خوانش با نرخ نفشه‌یابی منحصر به فرد ۸۱/۰۸٪ بود. نتایج حاصل از آنالیزهای بیوانفورماتیکی، بیان ۲۱۰۸۵ ژن را در بافت تخدمان گوسفندان شال نشان داد که از این تعداد ۱۵۰۸۷ ژن دارای میانگین بیان بالاتر از ۱۰ بودند. تجزیه و تحلیل عملکردی ژن‌ها، معنی‌داری ($P < 0.05$) عبارت GO شامل ۴۱ فرآیند بیولوژیکی، ۴۶ عملکرد مولکولی و ۷۵ جزء سلولی را نشان داد. همچنین آنالیز مسیرهای KEGG، ۱۴۹ مسیر معنی‌داری ($P < 0.05$) را شناسایی کرد که مهم‌ترین آن‌ها مسیر پیام‌رسانی استروژن، مسیر پیام‌رسانی TGF-beta و تقسیم میوز اووسیت بود. بررسی بیان ژن‌های عمدۀ برای دوقلوژایی و تولیدمثل، بیان بالایی برای ژن‌های INHBA و BMPR1B و INHBA را نشان داد و ژن INHA. یک فاکتور پاراکرین مهم در فولیکول‌های تخدمان، جزء ۱۰ ژن با بالاترین میانگین بیان بود. همچنین ژن‌های FSHR، ESR1 و ESR2 و FSHR با متوسط و ژن‌های GDF9 و BMP15 و PRLR بیان پایینی در نمونه‌ها نشان دادند. در این مطالعه برای اولین بار ترنسکرپتوم بافت تخدمان میش‌های شال با استفاده از فناوری RNA-Seq به طور جامع بررسی شد و این مطالعه می‌تواند پایه ژنتیکی مفیدی برای شناخت بهتر ژن‌ها و فرآیندهای درگیر در تولیدمثل گوسفندان شال فراهم کند.

کلیدواژه‌ها: آنالیز بیوانفورماتیکی، تولیدمثل، دوقلوژایی، ژن‌های عمدۀ، نرخ تخمکریزی.

Analysis of ovarian tissue transcriptome profile in Shal ewes using RNA-Seq data

Parvin Shariati Gazgazareh¹, Aliakbar Masoudi^{2*}, Rasoul Vaez Torshizi², Alireza Ehsani³, Zaynab Mousavian⁴

1. Ph.D. Candidate, Department of Animal Science, Faculty of Agriculture, Tarbiat Modares University, Tehran, Iran.

2. Associate Professor, Department of Animal Science, Faculty of Agriculture, Tarbiat Modares University, Tehran, Iran.

3. Assistant Professor, Department of Animal Science, Faculty of Agriculture, Tarbiat Modares University, Tehran, Iran.

4. Assistant Professor, Department of Computer Science, School of Mathematics, Statistics, and Computer Science, College of Science, University of Tehran, Tehran, Iran.

Received: October 28, 2019

Accepted: December 14, 2019

Abstract

The aim of this study was the investigation of gene expression profile in Shal sheep ovarian tissue using RNA sequencing data. For this purpose, the ovaries of five Shal sheep were isolated after estrous synchronization and their RNA was sequenced using Illumina Hiseq 4000 technology. On average, the data obtained from the sequencing consisted of 26638311 read pairs with 81.08 unique mapping rate. The results of bioinformatic analyzes revealed the expression of 21085 genes in Shal sheep ovarian tissue, of which 15078 genes had expression mean above 10. Gene ontology analysis revealed the significant enrichment of 162 GO terms including 41 biological processes, 46 molecular functions and 75 cellular components. KEGG pathway analysis also identified 149 significant pathways ($P < 0.05$), most important of which were estrogen signaling pathway, TGF-beta signaling pathway and oocyte meiosis. Investigating the expression of major genes for twining and reproduction, showed a high expression for INHBA, INHBA and BMPR1B, so that INHBA, an important paracrine factor in ovarian follicles, was one of the 10 genes with the highest expression. Also, FSHR, ESR1 and ESR2 showed medium expression and GDF9, BMP15 and PRLR showed low expression in the samples. For the first time, in this study the ovarian tissue transcriptome of Shal ewes was comprehensively studied using RNA-Seq technology and this study can provide a useful genetic basis for a better understanding of the genes and processes involved in the Shal sheep reproduction.

Keywords: Bioinformatics analysis, Major genes, Ovulation rate, Reproduction, Twining.

مقدمه

معمول تا زمان بلوغ بیان نمی‌شوند، از طرف دیگر این صفات تنها در جنس ماده رکورددگیری می‌شوند. مطالعات ژنتیکی در گوسفند نشان داده‌اند که نرخ تخمکریزی و چندقولزایی می‌توانند توسط فعالیت ژن‌های منفردی با اثرات بزرگ به نام ژن‌های باروری (Fec) تنظیم شوند. مهم‌ترین ژن‌های باروری شناسایی شده در گوسفند سه ژن TGF- β , BMPR1B و GDF9 و BMP15 متعلق به مسیر B4GALNT2 به عنوان یک هستند. همچنین اخیراً ژن تنظیم‌کننده نرخ تخمکریزی در گوسفند شناسایی شده است [۱۶ و ۱۷].

مطالعات مولکولی زیادی بر روی ژن‌های مؤثر بر دوقلوزایی در گوسفندان شال انجام شده است. بیان ژن‌های چندقولزا معنی دار گزارش شده است [۱۸]. بررسی بیشتر چهش‌های مؤثر بر چندقولزایی که در نژادهای دیگر شناسایی شده‌اند، تنوعی را در گوسفندان شال، به جز یک مورد، نشان نداده‌اند [۳، ۴ و ۶]. بنابراین ژن‌های عمدۀ تأثیرگذار بر صفت دوقلوزایی در گوسفندان شال نامشخص هستند و شناسایی این ژن‌ها نیازمند آنالیز جامع ژن‌های بیان شده در بافت تخدمان این نژاد است.

بیان ژن‌های یوکاریوتی تحت کنترل موقت و چند بعدی می‌باشد. تنها مجموعه نسبتاً کوچکی از کل ژنوم در هر یک از انواع بافت‌ها بیان می‌شود و بیان ژن‌ها به مرحله نمو بستگی دارد. بنابراین، بیان ژن در یوکاریوت‌ها برای هر بافت اختصاصی است. همچنین مقدار محصولات ژن ساخته شده در همان بافت و نیز در سایر بافت‌های سازنده آن محصول، سبب تنظیم بیان آن ژن می‌شود [۱۵]. یکی از اقدام‌های اساسی در حیوانات اهلی مطالعه ژن‌ها و پروتئین‌های مرتبط با صفات اقتصادی و مطالعه آن‌ها در سطح سلولی یا کروموزومی است [۸]. ظهور فناوری‌های توالی‌یابی نسل جدید با فراهم‌کردن آنالیز RNA از طریق

گوسفند یکی از گونه‌های دام‌های اهلی با تنوع بالاست که برای تولید گوشت، شیر، پوست و الیاف پرورش داده می‌شود [۱۳]. گوشت گوسفند منبع مهمی از پروتئین و عناصر مغذی مانند آهن، سلنیوم و ویتامین‌های A, B3 و B12 و فولیک اسید می‌باشد، بنابراین نقش مهمی در تغذیه انسان دارد [۱]. بالغ بر ۲۶ نژاد گوسفند در ایران وجود دارد که با مناطق مختلف سازگار شده‌اند. در حال حاضر، تولید گوشت مهم‌ترین دلیل پرورش گوسفند در ایران است و تولیدات دیگر مانند پشم، شیر و پوست در درجات بعدی اهمیت قرار دارند [۹، ۱۶ و ۲۵]. در بین نژادهای ایرانی گوسفند شال دارای بالاترین نرخ رشد است و افزایش وزن روزانه ۲۵۰ گرم برای این نژاد ثبت شده است. همچنین نژاد شال بالاترین نرخ دوقلوزایی را در بین نژادهای گوسفند ایرانی دارد [۳].

بهبود صفات تولیدمثلی در گونه‌های دام‌های اهلی و بهویژه در گوسفند، بسیار مورد توجه است چون افزایش جزئی در چندقولزایی افزایش قابل توجهی در سودآوری ایجاد می‌کند [۴]. از این‌رو، صفات نرخ تخمکریزی و چندقولزایی دارای ارزش اقتصادی بالایی در صنعت پرورش گوسفند هستند و حفظ نرخ بالای تخمکریزی و سطوح مناسب باروری برای تولید گوسفند ضروری است [۲۰]. باروری صفتی پیچیده است و شناسایی ژن‌های نامزد مربوط با این صفت با استفاده از روش‌های مولکولی معمول دشوار است چون این صفت تحت تأثیر ژن‌ها، سن، فصل و تغذیه می‌باشد و در این بین، ژنتیک مهم‌ترین عامل است [۱۲]. بهبود ژنتیکی صفات مرتبط با تولیدمثل از جمله نرخ تخمکریزی و چندقولزایی در گوسفند چالش‌برانگیز است، چون این صفات دارای وراثت‌پذیری پایینی هستند (میانگین وراثت‌پذیری برآورده شده در مطالعات مختلف برای چندقولزایی مشابه و حدود ۰/۱۱ است) و به طور

تولیدات دامی

(Gonadotropin تزریق شد [۵]. حدود ۲۷ ساعت بعد از تزریق هورمون PMSG، گوسفندان کشتار شدند و بافت تخمدان آنها با استفاده از نیتروژن مایع جهت استخراج RNA به آزمایشگاه منتقل شد. استخراج RNA با استفاده از کیت Thermo GeneJET RNA Purification Kit (Scientific, USA) طبق دستورالعمل شرکت سازنده انجام شد. تعیین کمیت و کیفیت RNA استخراج شده با استفاده از ژل آگارز یک درصد و NanoDrop انجام شد. توالی‌بایی نمونه‌های مورد بررسی با استفاده از فناوری Illumina Hiseq 4000 و توسط شرکت BGI (چین، پکن) انجام گرفت. جهت جلوگیری از توالی‌بایی mRNA‌های ریبوزومی، mRNA‌ها براساس دم پلی A انتخاب شدند. در این پژوهش توالی‌بایی بهروش استاندارد و کتابخانه‌های paired-end با طول خوانش ۱۵۰ جفت باز مورد استفاده قرار گرفت.

کنترل کیفیت خوانش‌های خام توالی‌بایی با استفاده از نرمافزار fastQC (نسخه ۰.۱۱.۵) انجام شد. ژنوم مرجع و مدل‌های ژنی برای گوسفند از پایگاه Ensembl دانلود شد. نقشه‌بایی خوانش‌های توالی‌بایی با ژنوم مرجع STAR گوسفند (نسخه Oar_v3.1) با استفاده از نرمافزار STAR (نسخه ۲.۵.۴a) انجام شد. تنها خوانش‌های با نقشه‌بایی منحصر به فرد برای آنالیزهای بعدی مورد استفاده قرار گرفتند. تعیین کمیت خوانش‌ها با استفاده از ابزار feature counts (نسخه ۱.۶.۰) انجام شد. روش نرمال‌سازی مورد استفاده در این پژوهش، روش نسبت میانه مربوط به نرمافزار R (پکیج DESeq2) بود. برای شناسایی مقادیر بیان ژن‌ها از پکیج DESeq2 نرمافزار R (نسخه ۱.۱۸.۱) استفاده شد. در نهایت، حاشیه‌نویسی عملکردی شامل حاشیه‌نویسی عملکردی GO (Gene Ontology) و Kyoto Encyclopedia of Genes and Genomes (KEGG) انجام شد. غنی‌سازی معنی‌دار

cDNA در مقیاس وسیع، انقلابی در مطالعات ترانسکریپتوم ایجاد کرده است. ترانسکریپتوم مجموعه كامل رونوشت‌ها در یک سلول و مقدار آنها برای یک مرحله خاص نمو یا شرایط فیزیولوژیکی خاص است. شناخت ترانسکریپتوم برای تفسیر عناصر عملکردی ژنوم و مشخص نمودن ترکیبات مولکولی سلول‌ها و بافت‌ها ضروری است [۲۳]. تعیین ساختار بیان ژن در تخمدان گوسفند، به عنوان یک اندام مهم در باروری این گونه، جهت شناسایی و استفاده از ژن‌های عمدۀ تولید مثل در گوسفند مفید خواهد بود. بنابراین، هدف این مطالعه بررسی ترانسکریپتوم بافت تخمدان گوسفندان شال با استفاده از داده‌های RNA-Seq به منظور آشکارانمودن وضعیت بیان ژن‌های مؤثر در چندقولزایی بود.

مواد و روش‌ها

نمونه‌های مورد استفاده در این پژوهش شامل بافت تخمدان پنج رأس گوسفند شال دوقلوزا بود. گوسفندان مورد استفاده در این مطالعه از ایستگاه مرکز تحقیقات کشاورزی و منابع طبیعی استان قزوین براساس اطلاعات شجره‌ای تیپ تولد انتخاب و خریداری شدند. گوسفندانی که خود چندقولزا بودند، مورد استفاده قرار گرفتند. همه گوسفندان تحت محیط یکسان با دسترسی آزاد به آب و غذا در دانشکده کشاورزی دانشگاه تربیت مدرس پرورش داده شدند. ابتدا از آبستن نبودن گوسفندان اطمینان حاصل شد، سپس هم‌زمان‌سازی فحلی با روش سیدرگذاری انجام شد. روز اول سیدر در رحم گوسفندان جایگذاری و در روز سوم به هر کدام از آنها دو سی سی پروستاگلندین (دی-کلوبپروستنول) تزریق شد. در روز سیزدهم سیدرها از رحم گوسفندان برداشته شد و به هر یک از آنها ۵۰۰ واحد هورمون PMSG (Pregnant Mare Serum) تزریق شد.

تولیدات دامی

میانگین شامل ۲۶۶۳۸۳۱۱ جفت خوانش بود که بهخوبی با ژنوم مرجع نقشه‌یابی شدند. نرخ نقشه‌یابی منحصر به فرد برای این داده‌ها بین ۸۷/۶۱-۵۸/۷۸ درصد و اندازه پوشش ژنوم بین ۳/۵۴-۲/۶۵ بود. در جدول (۲) خلاصه‌ای از داده‌های توالی‌یابی و نقشه‌یابی آن‌ها با ژنوم مرجع آورده شده است.

جدول ۱. غلظت و RIN نمونه‌های RNA مورد مطالعه

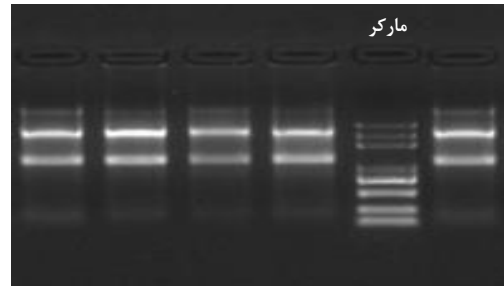
RIN	غلظت (نانوگرم بر میکرولیتر)	شماره میش
۸	۲۲۰	۱
۸/۴	۲۵۵	۲
۷/۸	۱۴۲	۳
۸/۶	۱۶۲	۴
۷/۹	۲۱۳	۵

نتایج حاصل از نقشه‌یابی با ژنوم مرجع با استفاده از مدل ژنی GTF خلاصه‌سازی شد و برای بررسی بیان ژن‌ها پکیج DESeq2 مورداستفاده قرار گرفت. ژنوم مرجع گوسفند شامل ۲۷۰۵۴ ژن حاشیه‌نویسی شده است و از این تعداد ۲۱۰۸۵ ژن (یعنی ۷۷/۹۴ درصد) در بافت تخدمدان این گوسفندان شال بیان شده بودند. برای بررسی دقیق ساختار بیان ژن‌های بافت تخدمدان گوسفندان شال محدودیت میانگین بیان بیشتر از ۱۰ در نظر گرفته شد که با اعمال این محدودیت ۱۵۰۸۷ ژن در این نمونه‌ها بیان شده بودند.

(P<۰/۰۵) عبارت GO (شامل فرآیندهای بیولوژیکی، عملکردهای مولکولی و اجزای سلولی) و مسیرهای KEGG با استفاده از پایگاه DAVID (نسخه ۶.۸) مورد بررسی قرار گرفت.

نتایج و بحث

نتایج به دست آمده از بررسی کمیت و کیفیت نمونه‌های RNA، کیفیت مطلوب آن‌ها جهت استفاده در توالی‌یابی RNA را نشان داد (شکل ۱).



شکل ۱. کیفیت نمونه‌های RNA استخراج شده روی ژل آگارز یک درصد

همچنین، غلظت نمونه‌های RNA استخراج شده بین ۱۴۲ تا ۲۵۵ نانوگرم بر میکرولیتر و RIN (RNA integrity number) آن‌ها بین ۷/۸ تا ۸/۶ بود (جدول ۱).

نتایج حاصل از کنترل کیفیت داده‌های خام توالی‌یابی کیفیت مطلوب همه نمونه‌ها را جهت انجام آنالیزهای بعدی نشان داد. داده‌های ورودی برای نقشه‌یابی به طور

جدول ۲. خلاصه‌ای از داده‌های توالی‌یابی و نقشه‌یابی آن‌ها با ژنوم مرجع در نمونه‌های مورد مطالعه

شماره میش	تعداد کل جفت خوانش‌های ورودی
۱	۲۵۸۷۳۹۲۸
۲	۲۴۴۴۲۳۵۷
۳	۲۹۸۷۲۶۵۳
۴	۲۴۲۲۶۲۶۵
۵	۲۸۷۷۶۳۵۳
درصد جفت خوانش‌های نقشه‌یابی شده با یک ناحیه ژنوم	۲۲۶۶۹۷۷۷
درصد جفت خوانش‌های نقشه‌یابی شده با یک ناحیه ژنوم	۱۹۳۵۱۷۶۹
تعداد جفت خوانش‌های نقشه‌یابی شده با چند ناحیه ژنوم	۲۳۴۷۴۰۶۹
تعداد جفت خوانش‌های نقشه‌یابی شده با چند ناحیه ژنوم	۱۹۰۹۸۷۴۷
درصد جفت خوانش‌های نقشه‌یابی شده با چند ناحیه ژنوم	۷۸/۵۸
درصد جفت خوانش‌های نقشه‌یابی شده با چند ناحیه ژنوم	۷۸/۸۳
تعداد جفت خوانش‌های نقشه‌یابی شده با یک ناحیه ژنوم	۱۱۱۷۲۲۳
درصد جفت خوانش‌های نقشه‌یابی شده با یک ناحیه ژنوم	۹۹۲۶۲۹
تعداد جفت خوانش‌های نقشه‌یابی شده با چند ناحیه ژنوم	۱۲۷۴۴۱۸
درصد جفت خوانش‌های نقشه‌یابی شده با چند ناحیه ژنوم	۴/۱۰
تعداد جفت خوانش‌های نقشه‌یابی شده با یک ناحیه ژنوم	۴/۱۰
درصد جفت خوانش‌های نقشه‌یابی شده با چند ناحیه ژنوم	۴/۲۷
تعداد جفت خوانش‌های نقشه‌یابی شده با یک ناحیه ژنوم	۴/۵۷
درصد جفت خوانش‌های نقشه‌یابی شده با چند ناحیه ژنوم	۷/۲۷

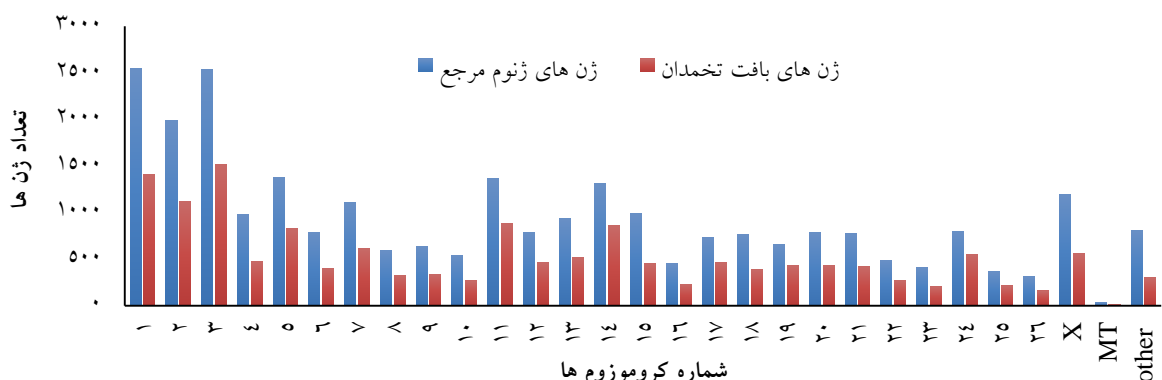
تولیدات دائمی

بررسی پروفایل ترانسکرپتوم بافت تخدمان در میش‌های نژاد شال با استفاده از داده‌های RNA-Seq

ژن‌های کدکننده ژنوم میتوکندریایی در این مطالعه مربوط به ژن CYTB بود.

انواع مختلفی از ژن‌هادر بافت تخدمان گوسفندان شال مشاهده شد، به صورتی که ۱۴۵۱۰ ژن بیان شده در این بافت کدکننده پروتئین و ۵۷۷ ژن RNAهای غیرکدکننده بودند. در بین RNAهای غیرکدکننده، RNAهای طویل غیرکدکننده بیشترین فراوانی را نسبت به گروه‌های دیگر داشت، بنابراین بررسی این گروه از RNAهای غیرکدکننده می‌تواند به شناسایی ژن‌ها و مسیرهای درگیر در چند قلوژایی گوسفندان شال کمک کند. شکل (۳) مقایسه فراوانی تیپ‌های بیولوژیکی مختلف ژن‌های غیرکدکننده بافت تخدمان گوسفندان شال را نشان می‌دهد.

توزیع ژن‌های بیان شده در بافت تخدمان گوسفندان شال روی کروموزوم‌ها و مقایسه آن‌ها با ژن‌های حاشه‌نوبی‌شده برای ژنوم مرجع در شکل (۲) نشان داده شده است. بیشترین تعداد ژن‌های شناسایی شده در بافت تخدمان گوسفندان شال، به ترتیب روی کروموزوم‌های سه (۱۰/۰۲ درصد)، یک (۹/۳۴ درصد) و دو (۷/۳۹ درصد) قرار داشتند، در حالی که بیشترین تعداد ژن‌های ژنوم مرجع گوسفند به ترتیب روی کروموزوم‌های یک (۹/۴۲ درصد)، سه (۹/۳۶ درصد) و دو (۷/۳۵ درصد) بودند. هم‌چنین داده‌های بیان ژن در گوسفندان شال، بیان ۱۶ ژن میتوکندریایی را نشان داد که به ۱۳ ژن کدکننده و سه ژن غیر کدکننده ژنوم میتوکندریایی تعلق داشتند. بیشترین میانگین بیان



و اجزای سلولی با بیشترین تعداد ژن در جدول (۳) نشان داده شده است.

از فرآیندهای بیولوژیکی مهم مرتبط با تولیدمثل که در این مطالعه معنی‌دار بودند، می‌توان به proteasome-mediated ubiquitin-dependent protein catabolic transforming growth factor beta receptor process negative regulation of TOR و signaling pathway signaling اشاره کرد. کمپلکس یووی کویتین-پروتازوم نقش مهمی در از سرگیری تقسیم میوز اووسیت، تکمیل تقسیم میوز اول و هم‌چنین نفوذ اسپرم در طول لفاح ایفا می‌کند [۲۲]. هم‌چنین اعضای خانواده TGF-β نقش مهمی در رشد و توسعه فولیکول‌ها ایفا می‌کند [۱۰]. مسیر mTOR نیز در شرایط *in vivo* در فولیکول تخدمان یک تنظیم‌کننده مثبت رشد و توسعه فولیکول است [۲۴]. اجزای سلولی میتوکندری، دستگاه گلزاری و شبکه آندوپلاسمی ارتباط تنگاتنگی با فرآیندهای تولیدمثلی دارند. میتوکندری اندامک عمده تأمین‌کننده انرژی است که در اووسیت‌ها ATP را برای لفاح و توسعه جنینی پیش از لانه‌گزینی فراهم می‌کند. علاوه بر این، میتوکندری هموستازی یون کلسیم داخل سلولی را که برای بلوغ اووسیت و لفاح ضروری است، تنظیم می‌کند [۱۴]. برای بلوغ موفق و توسعه بعدی اووسیت، اندامک‌های سلولی در سیتوپلاسم اووسیت‌ها در طول بلوغ تحت تأثیر تغییرات فیزیولوژیکی قرار می‌گیرند و دستگاه گلزاری و شبکه آندوپلاسمی ارتباط نزدیکی با بلوغ هسته‌ای و سیتوپلاسمی اووسیت دارند [۷].

نتیجه آنالیز مسیرهای KEGG مرتبط با ژن‌های بیان شده در بافت تخدمان گوسفندان شال شامل ۱۴۹ مسیر معنی‌دار ($P < 0.05$) بود. در جدول ۴ مسیرهایی با بیشترین تعداد ژن مرتبط با داده‌های بیان، آورده شده است.

در بافت تخدمان میش‌های شال، بیشترین بیان متعلق به ژن‌های COL1A1، EEF1A1، COL1A2، ENSOARG0000016963، RPLP0، COL3A1 و MYH11 و SERPINE2، FLNA مجموع ۶/۸ درصد کل خوانش‌های نقشه‌یابی شده منحصر به فرد را شامل می‌شوند. ژن INHA به عنوان یک تنظیم‌کننده منفی سنتز FSH هیپوفیز یا یک فاکتور پاراکرین داخل فولیکول‌های تخدمان در تنظیم عملکرد تخدمان نقش دارد [۲۱]. در مطالعه‌ای با هدف بررسی Finnsheep تنسکریپتوم بافت تخدمان گوسفندان INHA، COL1A2، COL1A1 مشخص شد که ژن‌های COL3A1 و SERPINE2 جزو ژن‌های با بالاترین میانگین در این بافت بودند [۱۹]. در حالی که مطالعه انجام شده توسط Pokharel و همکاران نشان داد که بالاترین میانگین بیان در سه گروه گوسفندان Finnsheep و Texel و آمیخته‌های نسل F1 آن‌ها متعلق به نه ژن کدکننده ژنوم میتوکندریایی بود [۲۰].

در پایگاه DAVID، از ۱۵۰۸۷ ژن بیان شده در بافت تخدمان گوسفندان شال تنها اطلاعات مربوط به ۱۱۳۶۷ ژن شناسایی شد، بنابراین تجزیه و تحلیل عملکردی ژن‌ها و مسیر با استفاده از این تعداد ژن انجام شد. نتایج حاصل از این آنالیز معنی‌داری ($P < 0.05$) عبارت GO را در سه گروه فرآیندهای بیولوژیکی، عملکرد مولکولی و اجزای سلولی نشان داد که شامل ۴۱ فرآیند بیولوژیکی، ۴۶ عملکرد مولکولی و ۷۵ جزء سلولی بود. بیشترین تعداد ژن در گروه فرآیند بیولوژیکی (۱۴۹ ژن) با GO:0008285-negative regulation of cell proliferation، در گروه عملکرد مولکولی (۹۳۷ ژن) با GO:0005524~ATP binding و در گروه جزء سلولی (۱۵۱۲ ژن) با GO:0070062~extracellular exosome مرتبط بود. فرآیندهای بیولوژیکی، عملکردهای مولکولی

تولیدات دامی

بررسی پروفایل ترانسکرپتوم بافت تخمدان در میش‌های نژاد شال با استفاده از داده‌های RNA-Seq

جدول ۳. ده عبارت با بالاترین تعداد ژن در سه گروه اصلی فرآیند بیولوژیکی، عملکرد مولکولی و جزء سلولی برای داده‌های بیان

مطالعه حاضر

تعداد ژن	ترم
فرآیند بیولوژیکی	
۱۴۹	GO:0008285~negative regulation of cell proliferation
۱۱۹	GO:0006886~intracellular protein transport
۱۰۲	GO:0046777~protein autophosphorylation
۹۰	GO:0043123~positive regulation of I-kappaB kinase/NF-kappaB signaling
۸۲	GO:0043065~positive regulation of apoptotic process
۸۰	GO:0006511~ubiquitin-dependent protein catabolic process
۷۸	GO:0007507~heart development
۷۶	GO:0030335~positive regulation of cell migration
۶۹	GO:0051092~positive regulation of NF-kappaB transcription factor activity
۶۸	GO:0006457~protein folding
عملکرد مولکولی	
۹۳۷	GO:0005524~ATP binding
۶۷۶	GO:0044822~poly(A) RNA binding
۶۶۶	GO:0008270~zinc ion binding
۵۶۶	GO:0046872~metal ion binding
۳۷۷	GO:0003676~nucleic acid binding
۲۲۳	GO:0005525~GTP binding
۲۱۱	GO:0000166~nucleotide binding
۱۸۶	GO:0003682~chromatin binding
۱۶۰	GO:0004674~protein serine/threonine kinase activity
۱۱۷	GO:0000287~magnesium ion binding
جزء سلولی	
۱۵۱۲	GO:0070062~extracellular exosome
۱۴۸۷	GO:0005737~cytoplasm
۱۲۲۳	GO:0005634~nucleus
۹۷۷	GO:0005654~nucleoplasm
۷۲۵	GO:0005739~mitochondrion
۶۱۱	GO:0016020~membrane
۵۰۱	GO:0005829~cytosol
۴۰۸	GO:0005730~nucleolus
۳۵۸	GO:0005794~Golgi apparatus
۲۸۸	GO:0005783~endoplasmic reticulum

تولیدات دائمی

دوره ۲۲ ■ شماره ۲ ■ تابستان ۱۳۹۹

با متابولیسم، ۱۹ مسیر با انتقال پیام و ۱۳ مسیر با سیستم اندوکرین ارتباط داشتند. مطالعه ژن‌های بیان شده در بافت تخدمان گوسفندان نژاد Finnsheep نیز نشان داد که این ژن‌ها به طور عمده در مسیرهای متابولیسم از جمله متابولیسم پورین، پیریمیدین و اسیدهای آمینه درگیر هستند [۱۹].

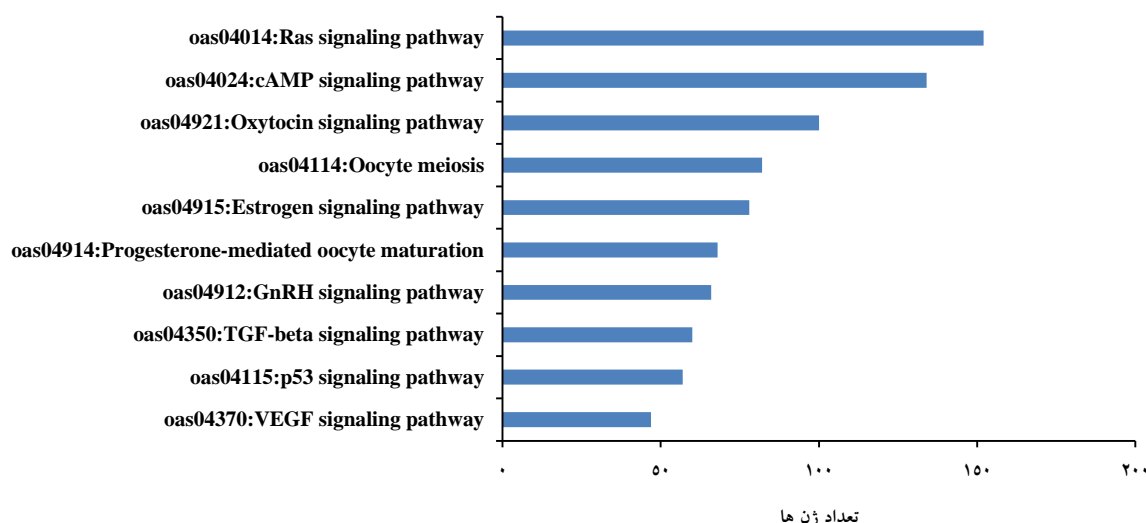
در بین مسیرهای KEGG مرتبط با ژن‌های بیان شده در بافت تخدمان گوسفندان شال، تعدادی از مسیرها ارتباط نزدیکی با فرآیندهای تولیدمثلی و باروری داشتند که از جمله آن‌ها می‌توان به مسیرهای پیامرسانی TGF-beta، GnRH، استروژن و سایر موارد اشاره کرد. مهم‌ترین مسیرهای معنی‌دار مرتبط با فرآیندهای تولیدمثلی در شکل (۴) نشان داده شده است.

در ادامه وضعیت بیان ژن‌های عمده تأثیرگذار بر دوقلوژایی و باروری در این داده‌ها بررسی شد. از مهم‌ترین ژن‌های عمده تأثیرگذار بر این صفات می‌توان به ژن‌های FSHR، JNHA، BMPR1B، BMP15، GDF9، B4GALNT2 و ESR2 اشاره کرد.

جدول ۴. ۱۰ مسیر KEGG با با لاترین تعداد ژن برای داده‌های بیان ژن مطالعه حاضر

مسیر	تعداد ژن
oas01100:Metabolic pathways	۸۴۶
oas05200:Pathways in cancer	۲۷۹
oas04151:PI3K-Akt signaling pathway	۲۳۱
oas04144:Endocytosis	۱۹۰
oas05166:HTLV-I infection	۱۸۳
oas04010:MAPK signaling pathway	۱۷۵
oas01130:Biosynthesis of antibiotics	۱۶۲
oas04510:Focal adhesion	۱۶۲
oas04014:Ras signaling pathway	۱۵۲
oas05205:Proteoglycans in cancer	۱۵۱

در بین مسیرهای KEGG معنی‌دار، مسیرهای متابولیکی بیشترین تعداد ژن (۸۴۶ ژن) را به خود اختصاص داده بود. نتایج مطالعات نشان داده‌اند که کیفیت و شایستگی توسعه‌ای اووسیت ارتباط نزدیکی با نرخ متابولیسم اووسیت و سلول‌های کومولوس احاطه‌کننده آن دارد [۲]. بررسی مسیرهای KEGG نشان داد که ۲۳ مسیر



شکل ۴. مهم‌ترین مسیرهای KEGG مرتبط با صفات تولیدمثلی و دوقلوژایی در گوسفند

تولیدات دامی

اعضای این خانواده را می‌توان به سه گروه لیگاند، گیرندها و مولکول‌های پیام‌رسان پایین دست SMAD گروه‌بندی کرد [۱۰]. داده‌های بیان ژن به دست آمده در این مطالعه بیان لیگاند‌های BMP1، BMP2، BMP4، BMP7، AMH، GDF9، GDF10، GDF5، BMP8B، BMPR1A، TGFβ2، TGFβ3 و گیرنده‌های ACVR1B، INHA، INHBA، BMPR2، BMPR1B، AMHR2، TGFβR1، ACVR2B، ACVR2A، ACVR1 و TGFβR3 را نشان داد. همچنین ۱-۹ SMADs نیز در بافت تخمدان گوسفندان شال بیان شده بودند. از جمله ژن‌های اختصاصی اووسیت که در بافت تخمدان این گوسفندان شال بیان شده بود، می‌توان به ZP2، GDF9 و ZP4 اشاره کرد. از دیگر ژن‌های بیان شده در این بافت می‌توان به ژن‌های LEPR، VEGFA، KITLG، CALR، APC2، HSF1، JFRD1 و HSP90AA1 اشاره کرد که در مراحل مختلف تولیدمثل میش درگیرند.

در این مطالعه برای اولین بار ترانسکرپتوم بافت تخمدان میش‌های شال، یکی از نژادهای ارزشمند بومی ایران از نظر دوقلوژایی و باروری، به طور جامع بررسی شد. داده‌های حاصل از این مطالعه نشان دادند که تعداد زیادی ژن در بافت تخمدان میش‌های شال بیان می‌شوند و این مطالعه پایه ژنتیکی مفیدی را فراهم می‌کند که ممکن است به شناخت بهتر ژن‌ها و فرآیندهای درگیر در تولیدمثل گوسفندان شال کمک کند. همچنین این مطالعه بیان اکثر ژن‌های عمدۀ مرتبط با دوقلوژایی و باروری را در تخمدان میش‌های شال نشان داد که این موضوع یافته‌های قابلی مرتبط با این صفات را بیشتر تأیید می‌کند و زمینه مطالعات بیشتر در رابطه با دوقلوژایی و باروری را فراهم می‌کند. یافته‌های به دست آمده از این مطالعه نشان می‌دهند که تخمدان را می‌توان به عنوان یک بافت کاندید بسیار خوب برای مطالعات ژنومیک تولیدمثل با استفاده از

جدول ۵. مقادیر بیان ژن‌های عمدۀ دوقلوژایی و باروری (مقادیر بیان، میانگین بیان تصحیح شده بر اساس فاکتور اندازه نمونه می‌باشد)

ژن	شماره میش	۵	۴	۳	۲	۱
GDF9		۵۴/۸۷	۵۰/۶۳	۳۰/۲۹	۵۶/۸۹	۵۷/۵۴
BMP15		۳/۸۵	۱۸/۳۱	۵/۵۱	۵/۴۷	۱۹/۱۸
BMPR1B		۱۹۴۷/۴۴	۱۲۷۰/۱۲	۱۱۶۶/۷۰	۱۷۰۷/۹۶	۱۷۲۲/۴۲
INHA		۳۲۴۹۴۶/۴۴	۱۰۱۱۱۵/۱۶	۳۸۸۶/۵۷	۳۱۳۵۷/۱۹	۶۲۶۷/۲۸
INHBA		۱۶۶۶۶/۶۶	۴۴۳۴/۱۰	۲۹۸۸/۸۲	۱۴۸۴/۶۴۹	۹۸۳/۹۷
FSHR		۱۵۱۵/۲۱	۵۲۴/۶۴	۸۷/۲۰	۳۹۴/۹۹	۴۹۳/۹۰
PRLR		۷/۷۰	۲/۱۵	۱/۸۳	۲۹/۵۴	۷/۷۷
ESR1		۵۰۸/۲۸	۳۸۲/۴۴	۷۶۳/۷۳	۶۶۴/۱۵	۶۲۱/۴۵
ESR2		۳۲۶/۳۴	۶۱/۴۰	۴۵/۹۰	۹۸/۴۷	۱۰۸/۳۷
B4GALNT2		۰/۹۶	۱/۰۸	.	.	.

ژن‌های INHA، INHBA و BMPR1B بیان بالا و ژن‌های BMP15 و PRLR بیان پایینی داشتند (جدول ۵). ژن B4GALNT2 به عنوان یکی از ژن‌های عمدۀ مرتبط با نرخ تخمکریزی، تقریباً هیچ بیانی را در بافت تخمدان گوسفندان شال نشان نداد. داده‌های بیان ژن بافت تخمدان گوسفندان نژاد Finnsheep نشان داد که ژن‌های INHA و ESR1 FSHR1، BMPR1B، ژن‌های INHBA بیان متوسط و ژن‌های GDF9، BMP15، ESR2، PRLR و ESR1 بیان پایینی دارند. همچنین در بافت تخمدان گوسفندان Finnsheep نیز، که جزء نژادهای با توان چندقلوژایی بالا هست، ژن B4GALNT2 بیان نمی‌شود [۱۹]. نتایج حاصل از این مقایسه‌ها نشان می‌دهند که بافت تخمدان گوسفندان نژادهای شال و Finnsheep دارای وضعیت بیان ژن مشابهی هستند، بنابراین به نظر می‌رسد استفاده از برنامه‌های اصلاح نژادی و مدیریتی می‌تواند منجر به بهبود بازده تولیدمثلی نژاد شال شود. در پستانداران اعضای خانواده بزرگ β -TGF در نقش‌های کلیدی در تنظیم رشد و توسعه فولیکول هستند.

تولیدات دامی

- of porcine oocytes and stimulates expression of ER/Golgi transport proteins. *Development and Reproduction*, 21(2): 131-138.
8. Jafari-Darehdor AH, Mohammadabadi MR, Esmailzadeh-Koshkoieh A and Riahi-Madvar A (2016) Investigating expression of CIB4 gene in different tissues of Kermani sheep using real time qPCR. *Journal of Ruminant Research*, 4(4): 119-132 (in Persian).
9. Khodabakhshzadeh R, Mohammadabadi MR, Esmailzadeh-Koshkoieh A, Moradi-Shahrebabak H, Bordbar F and Ansari-Namin S (2016) Identification of point mutations in exon 2 of GDF9 gene in Kermani sheep. *Polish Journal of Veterinary Sciences*, 19(2): 281-289.
10. Kristensen SG, Andersen K, Clement CA, Franks S, Hardy K and Andersen CY (2014) Expression of TGF-beta superfamily growth factors, their receptors, the associated SMADs and antagonists in five isolated size-matched populations of pre-antral follicles from normal human ovaries. *Molecular Human Reproduction*, 20(4): 293-308.
11. Liu Q, Pan Zh, Wang X, Hu W, Di R, Yao Y and Chu M (2014) Progress on major genes for high fecundity in ewes. *Frontiers of Agriculture Science and Engineering*, 1(14): 282-290.
12. Miao X and Luo Q (2013) Genome-wide transcriptome analysis between Small-tail Han sheep and the Surabaya fur sheep using high-throughput RNA sequencing. *Reproduction*, 145: 587-596.
13. Miao X, Luo Q and Qin X (2015) Genome-wide transcriptome analysis of mRNAs and microRNAs in Dorset and Small Tail Han sheep to explore the regulation of fecundity. *Molecular and Cellular Endocrinology*, 402: 32-42.
14. Miao YL and Williams CJ (2012) Calcium signaling in mammalian egg activation and embryo development: Influence of subcellular localization. *Molecular Reproduction Development*, 79(11): 742-756.
15. Mohammadabadi MR, Jafari-Darehdor AH and Bordbar F (2017) Molecular analysis of CIB4 gene and protein in Kermani sheep. *Brazilian Journal of Medical and Biological Research*, 50(11): e6177.
16. Mohammadabadi MR and Sattayi-Mokhtari R (2013) Estimation of (co) variance components of ewe productivity traits in Kermani sheep. *Slovak Journal of Animal Science*, 46: 45-51.
17. Notter DR (2008) Genetic aspects of reproduction in sheep. *Reproduction in Domestic Animals*, 43(2): 122-128.

فناوری‌های توالی‌بایی نسل جدید و روش‌های بیوانفورماتیکی مورد مطالعه قرار داد.

تشکر و قدردانی

از معاونت پژوهشی دانشگاه تربیت مدرس برای حمایت مالی از انجام این پژوهش و همچنین از مرکز تحقیقات کشاورزی و منابع طبیعی استان قزوین به خاطر در اختیار قرار دادن اطلاعات جهت انتخاب دام‌ها، تشکر و قدردانی می‌گردد.

تعارض منافع

هیچ‌گونه تعارض منافع توسط نویسنده‌گان وجود ندارد.

منابع مورد استفاده

1. Andrade JC, Sobral LA, Ares G and Deliza R (2016) Understanding consumers' perception of lamb meat using free word association. *Meat Science*, 117: 68-74.
2. Dunning KR, Cashman K, Russell DL, Thompson JG and Norman RJ (2010) Beta-oxidation is essential for mouse oocyte developmental competence and early embryo development. *Biology of Reproduction*, 83: 909-918.
3. Eghbalsaeid S, Amini H, Shahmoradi S and Farahi M (2014) Simultaneous presence of G1 and G4 mutations in growth differentiation factor 9 gene of Iranian sheep. *Iranian Journal of Applied Animal Science*, 4(4): 781-785.
4. Ghaffari M, Nejati-Javaremi A and Rahimi-Mianji G (2009) Lack of polymorphism in the oocyte derived growth factor (GDF9) gene in the Shal breed of sheep. *South African Journal of Animal Science*, 39(4): 355-360.
5. Gottfredson R (2001) Hormonal control of ewe reproduction. Department of animal science, University of Wisconsin-Madison, 42-44.
6. Hedayat-Evrig N, Miraei-Ashtiani SR and Nejati-Javaremi A (2012) Investigate the possibility of polymorphism in *FecX^I* and *FecX^H* gene associated with twining in Shal sheep. *Journal of Genetics*, 6(4): 29-34. (in Persian)
7. Hwangbo Y, Oh HI, Lee SH, Cheong HT, Yang BK and Park CK (2017) Treatment of epidermal growth factor (EGF) enhances nuclear maturation

تولیدات دامی

18. Pezeshki Najafabadi S, Masoudi AA, Shirazi A and Shariati P (2017) Promoter and expression analysis of nobox, ovol1 and zp3 genes in ovarian follicles of Shall ewes. Animal Production, 18(4): 679-686. (in Persian)
19. Pokharel K, Peippo J, Andersson G, Li MH and Kantanen J (2015) Transcriptome profiling of Finnsheep ovaries during out-of-season breeding period. Agricultural and Food Science, 24: 1-9.
20. Pokharel K, Peippo J, Honkatukia M, Seppala A, Rautainen J, Ghanem N, Hamama TM, A. Crowe M, Andersson M, Li MH and Kantanen J (2018) Integrated ovarian mRNA and miRNA transcriptome profiling characterizes the genetic basis of prolificacy traits in sheep (*Ovis aries*). BMC Genomics, 19(104): 1-17.
21. Rossetti R, Ferrari I, Bonomi M and Persani L (2017) Genetics of primary ovarian insufficiency. Clinical Genetics, 91: 183–198.
22. Sun QY, Fuchimoto D and Nagai T (2004) Regulatory roles of ubiquitin–proteasome pathway in pig oocyte meiotic maturation and fertilization. Theriogenology, 62: 245–255.
23. Wang Z, Gerstein M and Snyder M (2009) RNA-Seq: a revolutionary tool for transcriptomics. Nature Reviews Genetics, 10(1): 57-63.
24. Yu J, Yaba A, Kasiman C, Thomson T and Johnson j (2011) mTOR controls ovarian follicle growth by regulating granulosa cell proliferation. Plos One, 6(7): 1-10.
25. Zamani P, Akhondi M and Mohammadabadi MR (2015) Associations of inter-simple sequence repeat loci with predicted breeding values of body weight in sheep. Small Ruminant Research, 132: 123-127.

تولیدات دامی

دوره ۲۲ ■ شماره ۲ ■ تابستان ۱۳۹۹